


# Astro-Phot



# Planétaire

TRAITEMENT DE LA LUNE  
GAD – MEYLAN - 02 / 2023

Sébastien Valat



# Disclamer

2

- ▶ Mon expérience se **limite** à **quelques jeux de lune** avec mon **Reflex** sur un **trepied** et avec la **lunette du club** !
- ▶ On peut pour sur faire mieux !
- ▶ Je présente avec une lunette, monture et camera
- ▶ On peut appliquer avec un simple **Reflex + Objectif + trepied** !



3

# Fichiers utilisés

4

▶ <http://progranet.ovh/shares/gad/2022-05-11-lune/>

▶ Login : **gad**

▶ Pass : **2022**

▶ Prise : **7 mai 2022**

▶ Fichiers:

Fichier	Images
22_33_42	500
22_41_59	500
22_45_55	1000

# Matériel

5

► Telescope: [SkyWatcher Black Diamond 120 ED](#)

► Mount: SkyWatcher NEQ6

► Camera: [Atik Infinity](#)  
(1392 x 1040)

► Capture: [SharpCap](#)



# Le but en planétaire

6

- ▶ On veut **compenser** les **mouvements atmosphériques**
- ▶ On va prendre les images **le plus rapidement possible**
- ▶ Configuration de la prise :

#Format de sortie

Output Format=**SER** file (\*.ser) (Auto)

#Exposition

Exposure=**1,6412ms**





# Traitement logiciels

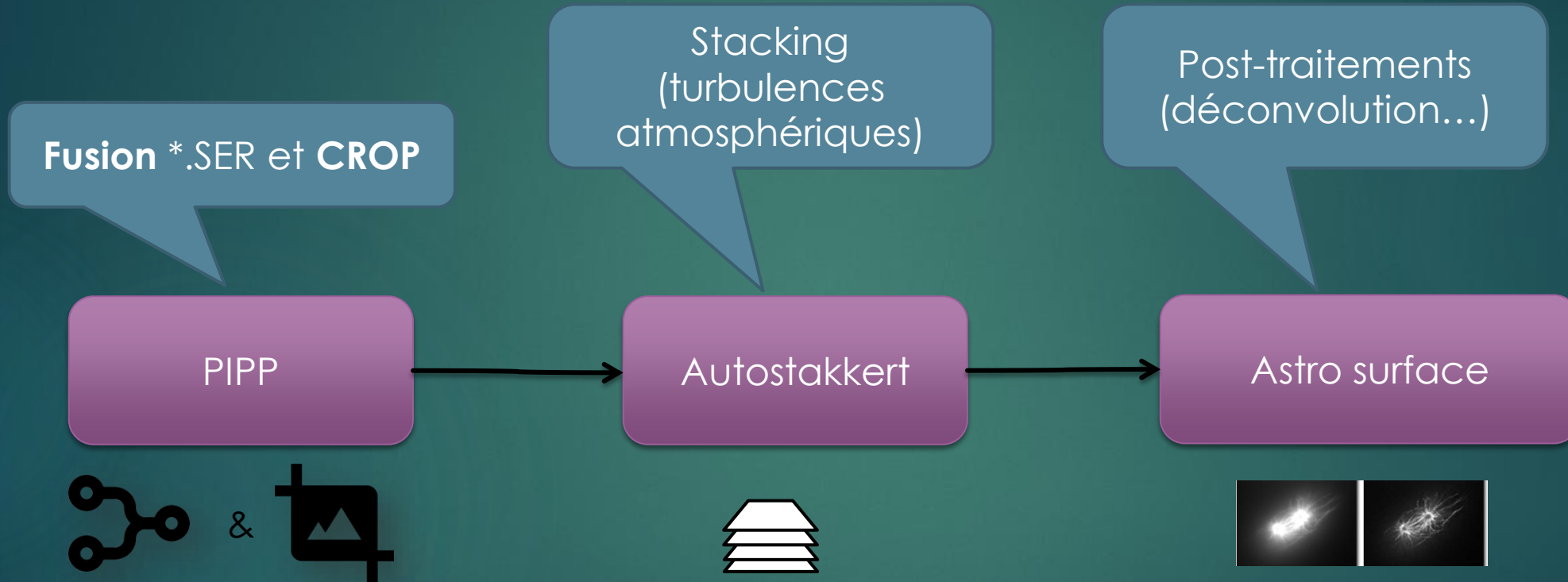
(sous windows)

7

- ▶ PIPP (**Planetary Imaging PreProcessor**)  
<https://sites.google.com/site/astropipp/>
- ▶ Autostakkert (**stacking avec correction des mouvements atmosphériques**)  
<https://www.autostakkert.com/>
- ▶ Astro Surface (**post traitement / déconvolution**)  
<http://astrosurface.com/>

# Full pipeline

8



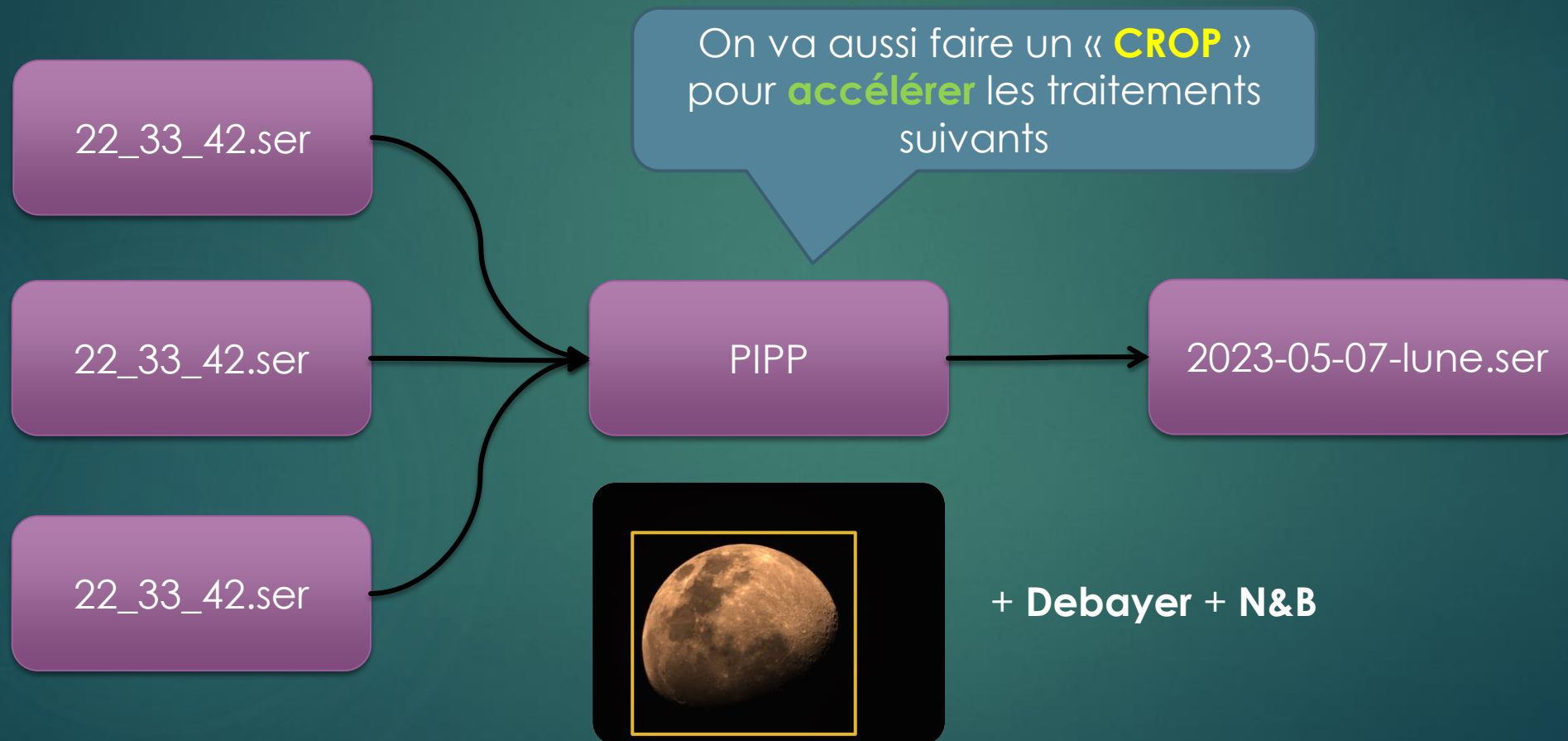


# Pre-Processing : PIPP

FUSION & ALIGNEMENT & CROP

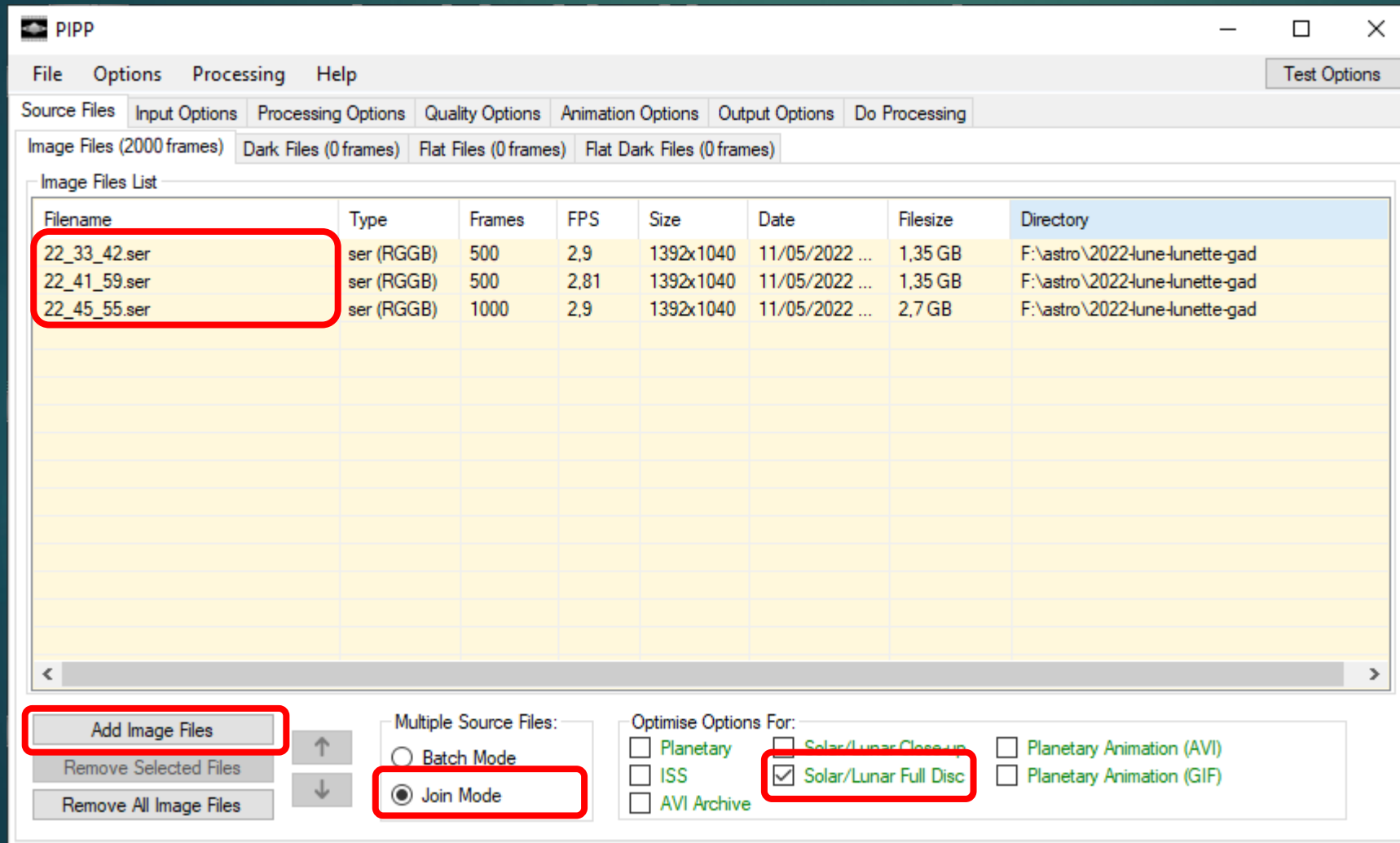
# Fusion des .ser

10



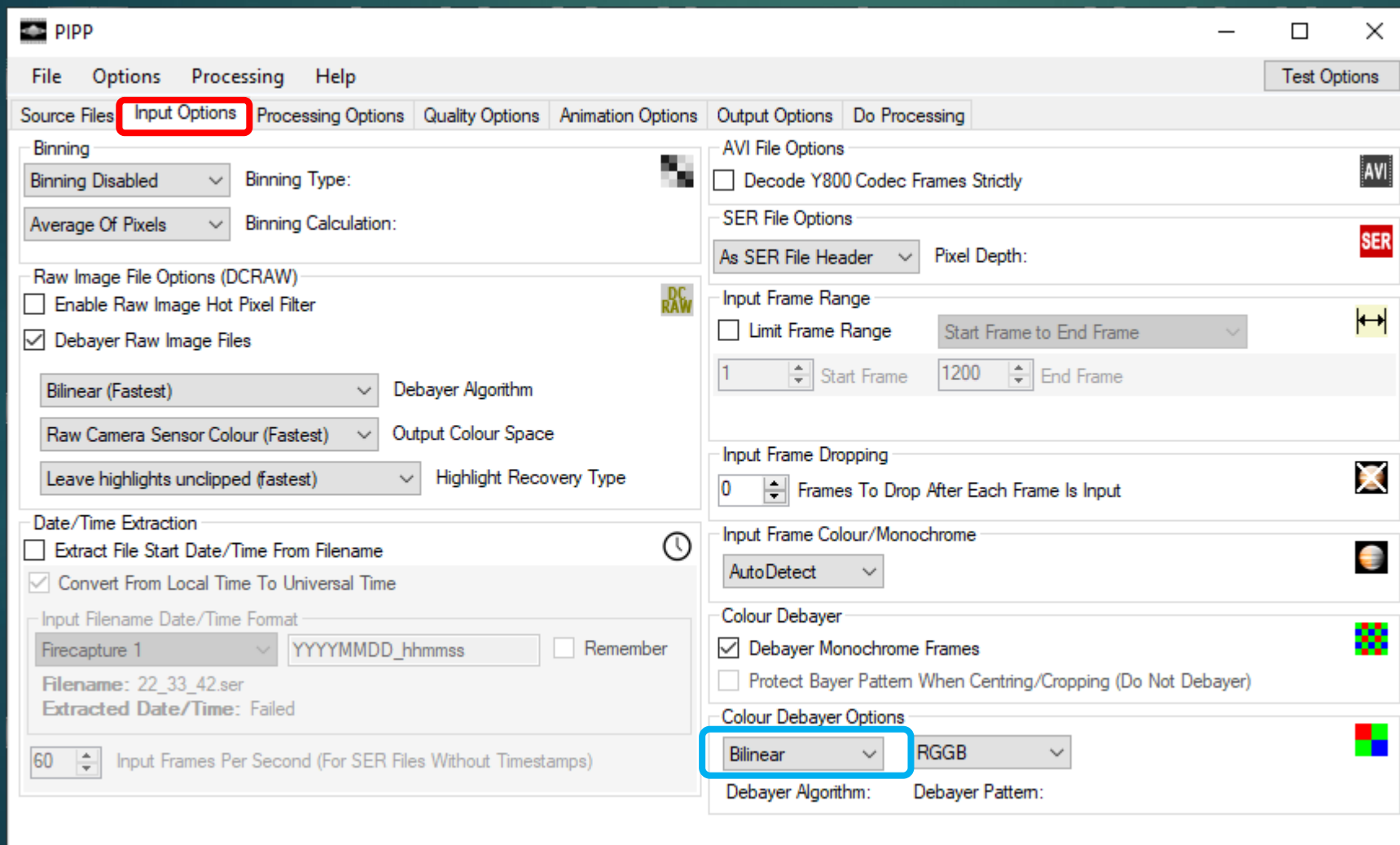
# Etape 1 : Source Files

11



# Etape 2 : Input Option

12

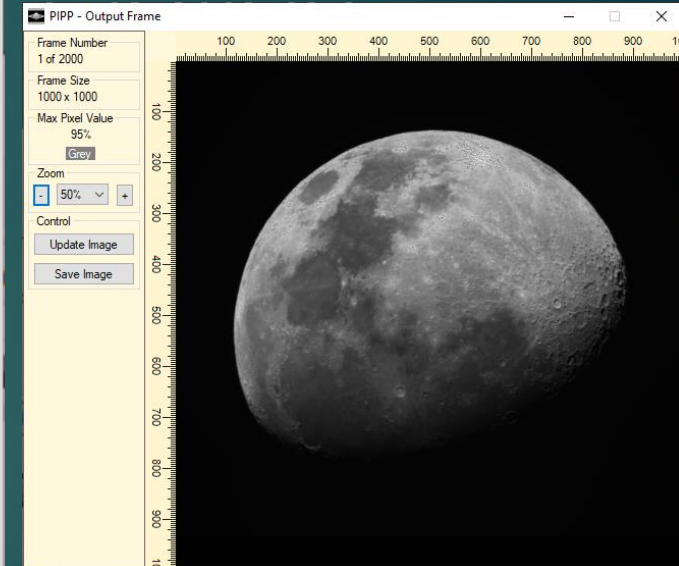
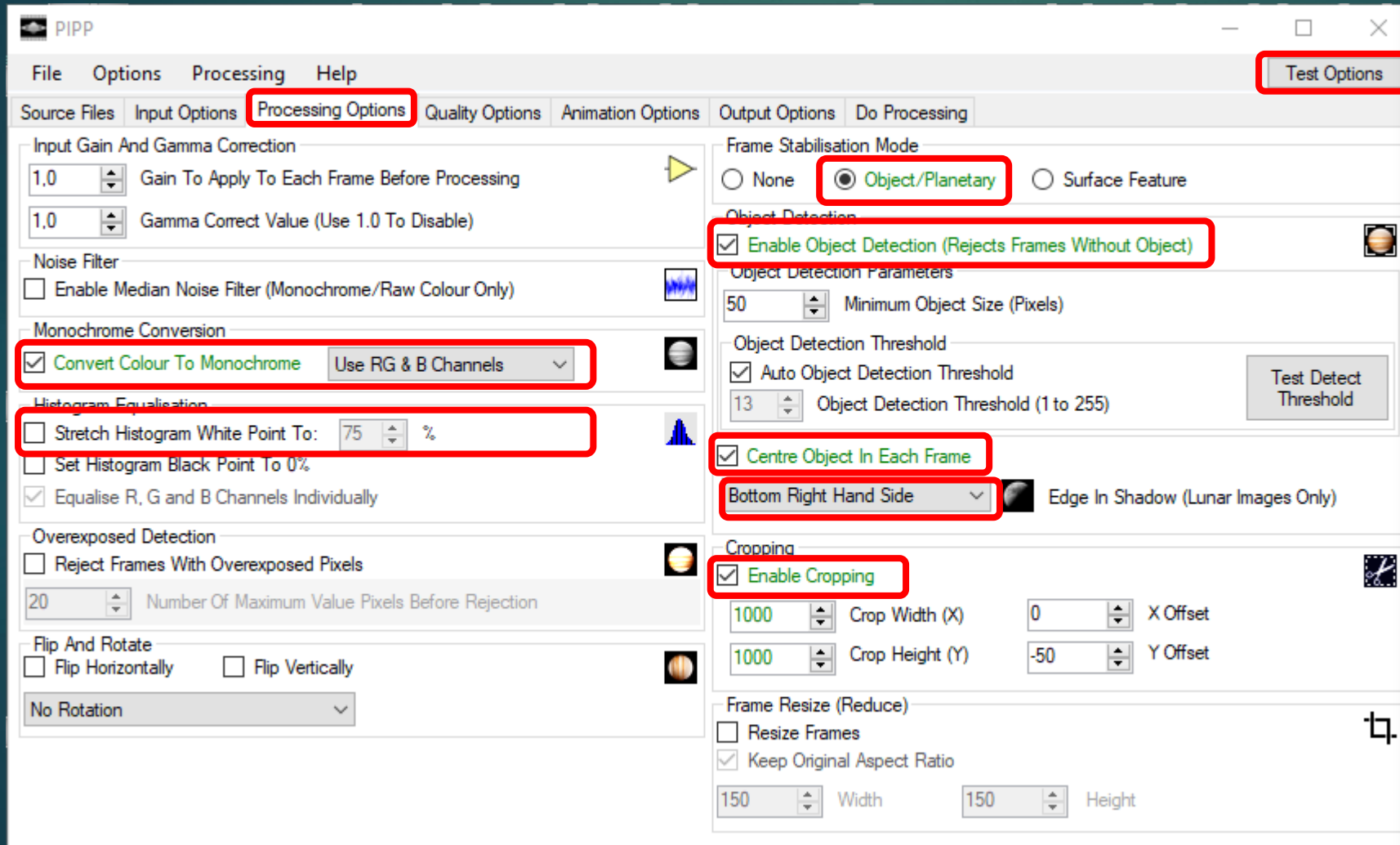


Pas de changement !

Eventuellement **Debayer**  
**HQ Linear** ou **Smooth Hue**

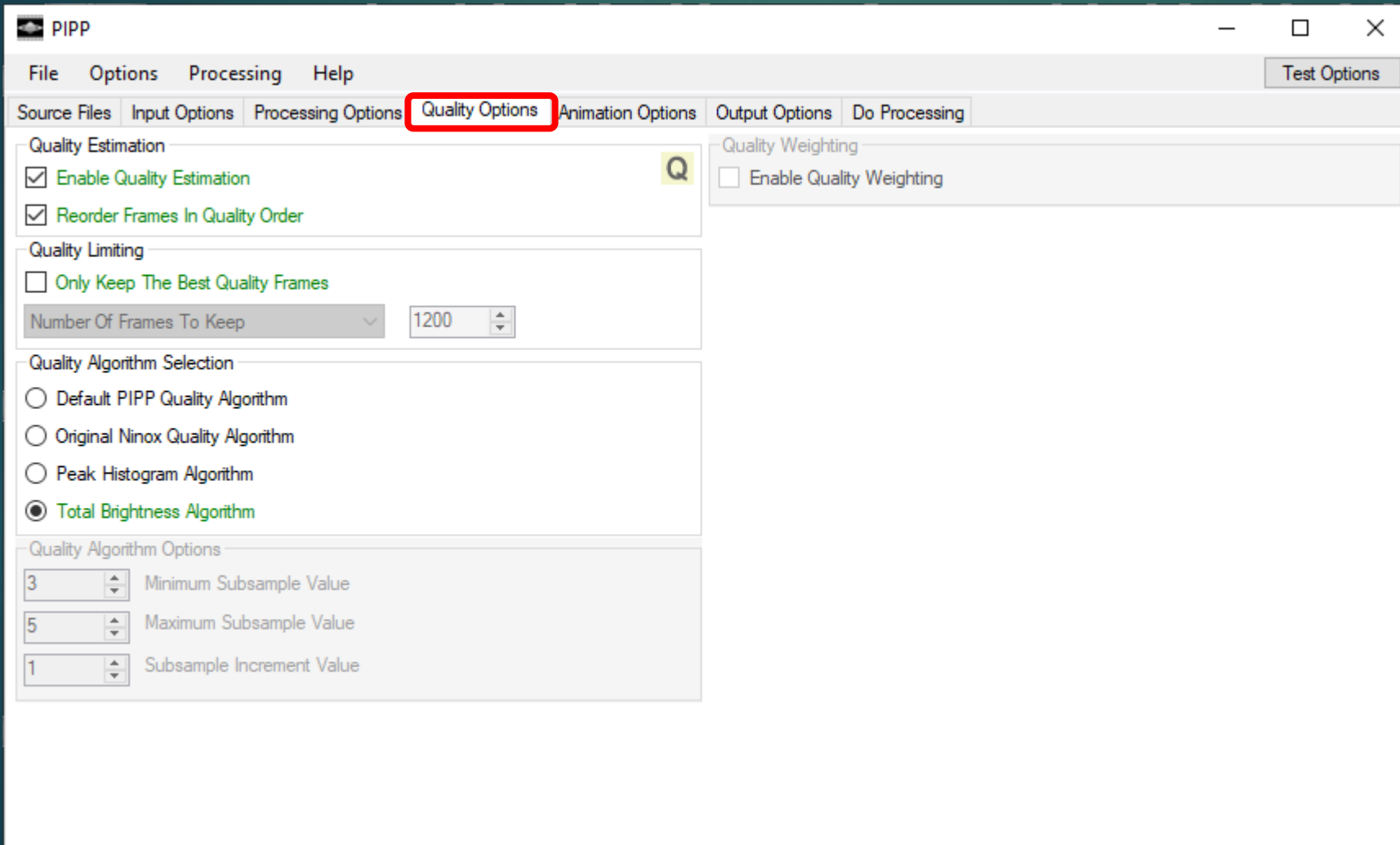
# Etape 3 : Processing Options

13



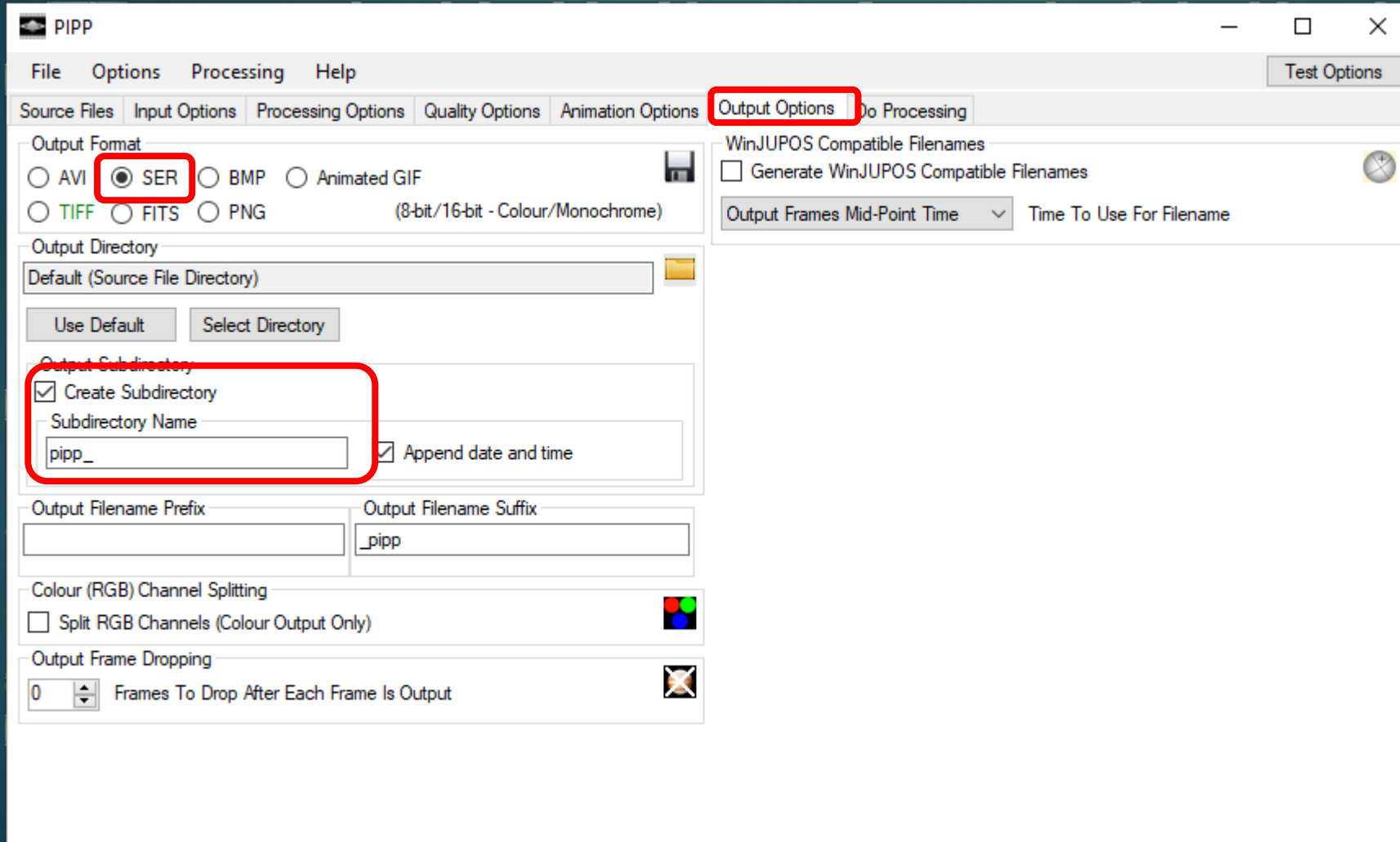
# Etape 4 : Processing Options

14



# Etape 5 : Output Options

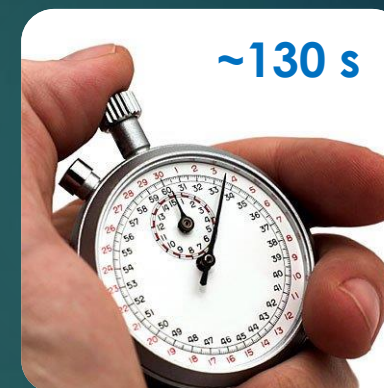
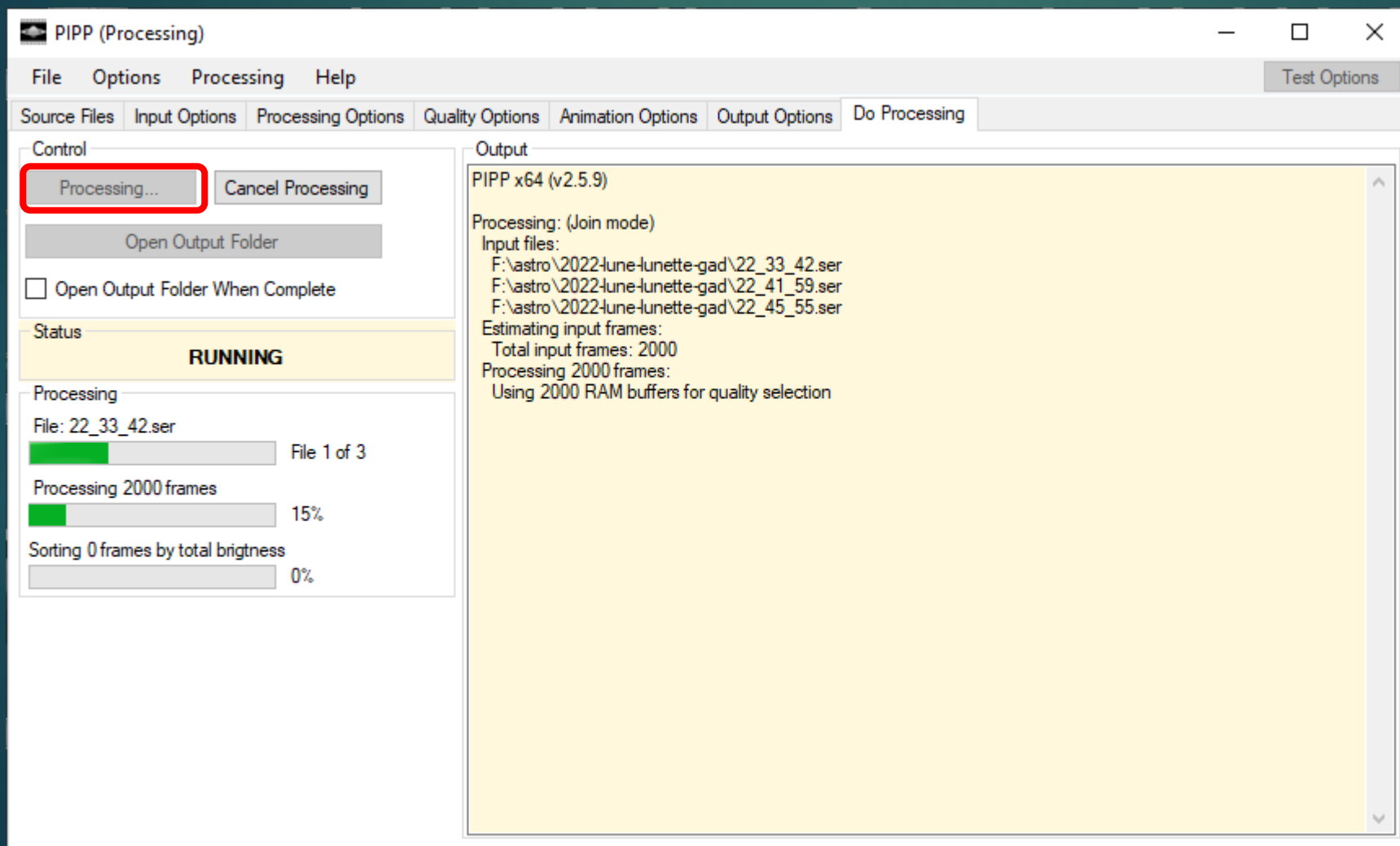
15





# Etape 6 : Processing

16



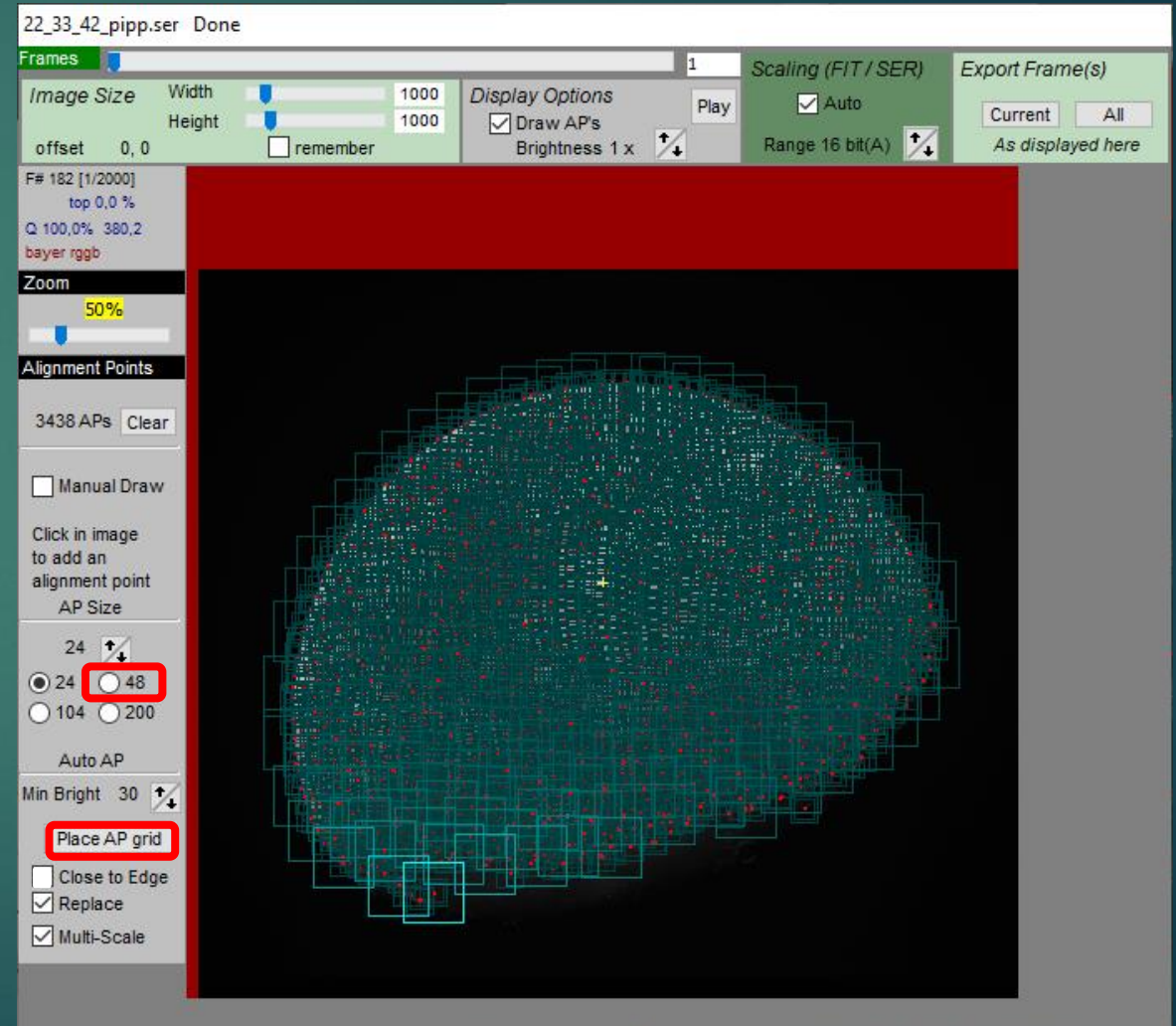
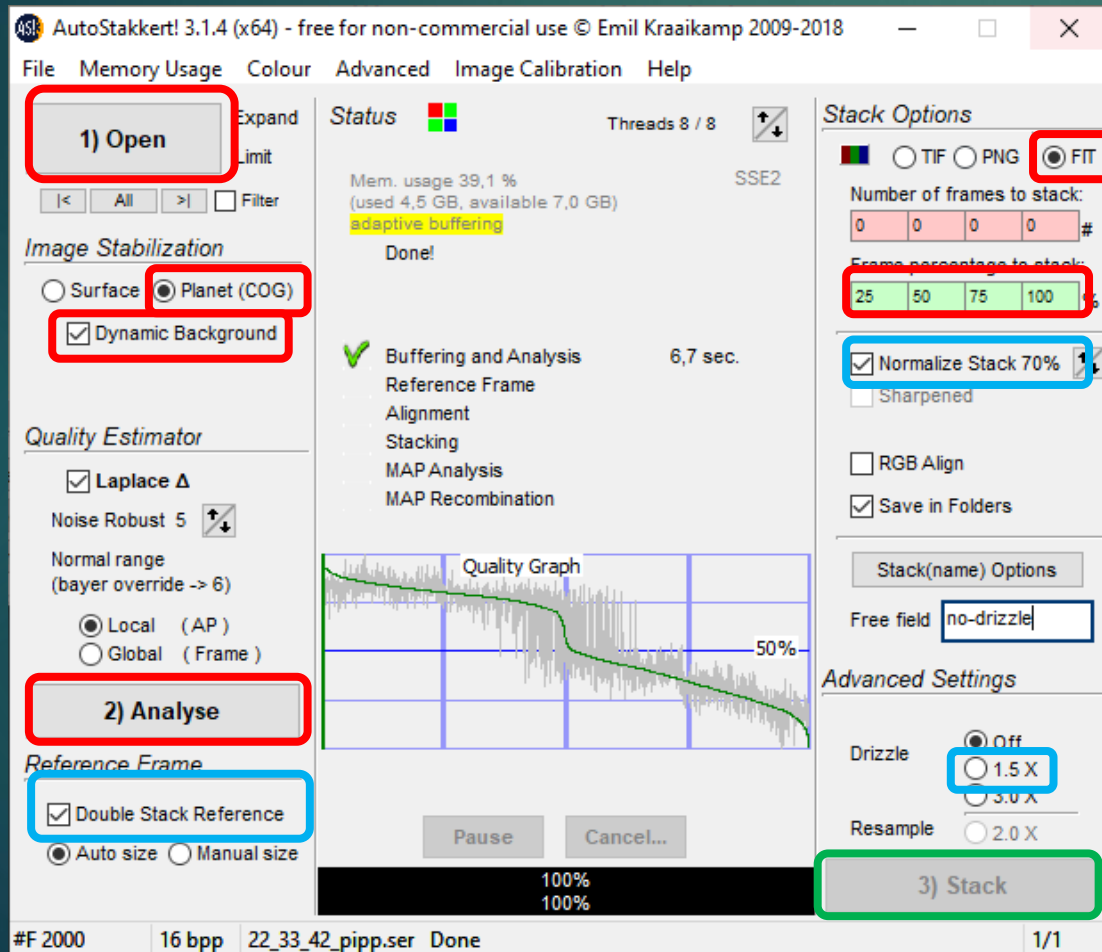


# Processing : Autostakkert

TURBULENCES ATMOSPHÉRIQUES

# Stacking et correction atmosphérique

19



Impression de rien  
avoir gagné....., on  
verra plus loin



Image unique



Post Autostakkert

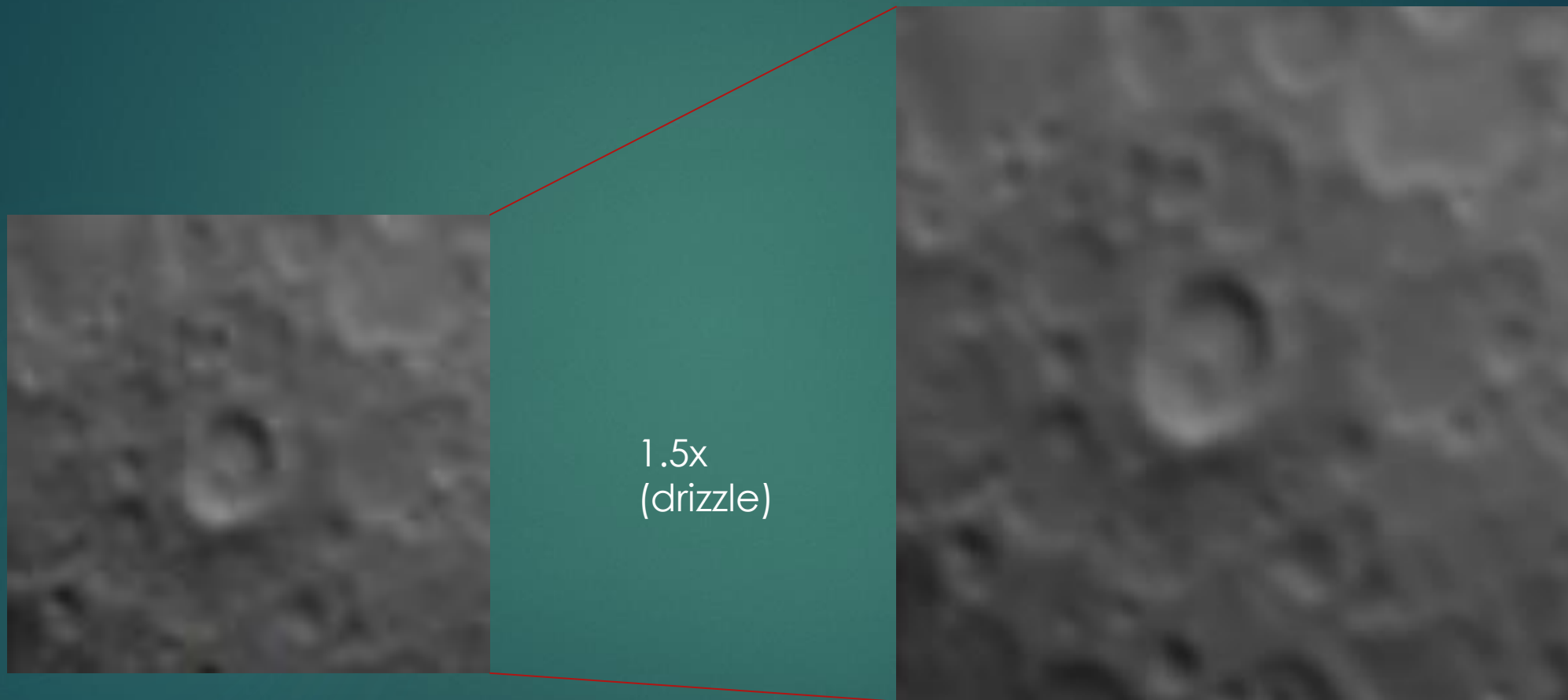


Image unique

Post Autostakkert



# Un mot sur la dé-convolution

## Un peu de théorie

- ▶ Un très bon tuto bien pédagogique (mais en anglais):  
<https://youtu.be/f-llNpceX6k>  
De **Sheer Nayar** (Columbia University)
- ▶ Les slides qui suivent sont extrait directement de cette vidéo

**Motion Blur**

Scene  $f(x,y)$  \* PSF  $h(x,y)$  (Camera Shake) = Image  $g(x,y)$

$f(x,y) * h(x,y) = g(x,y)$

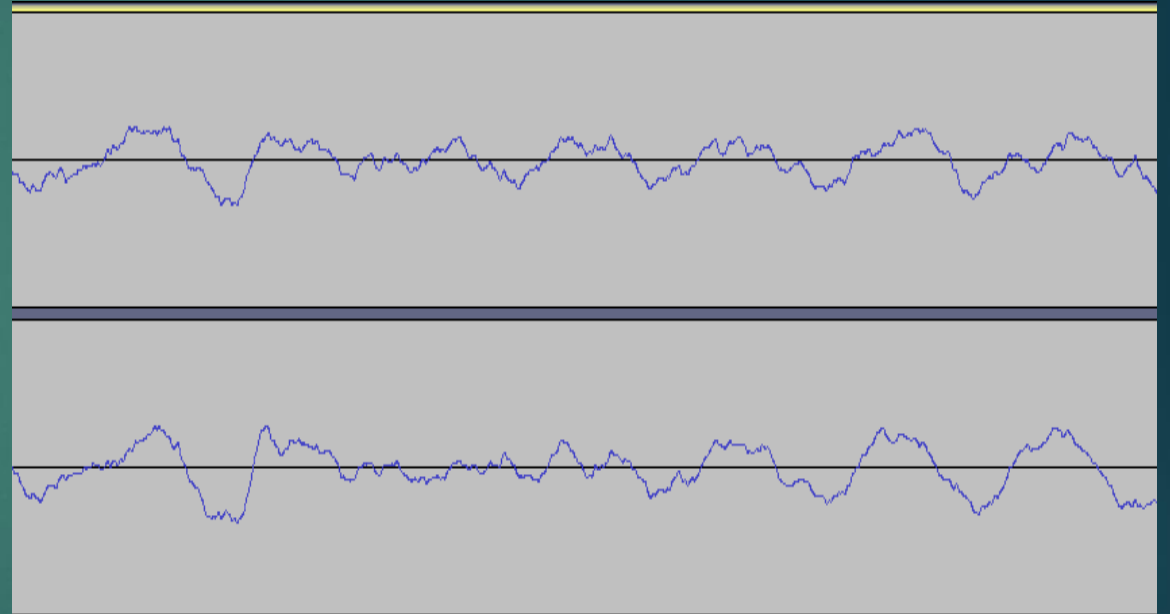
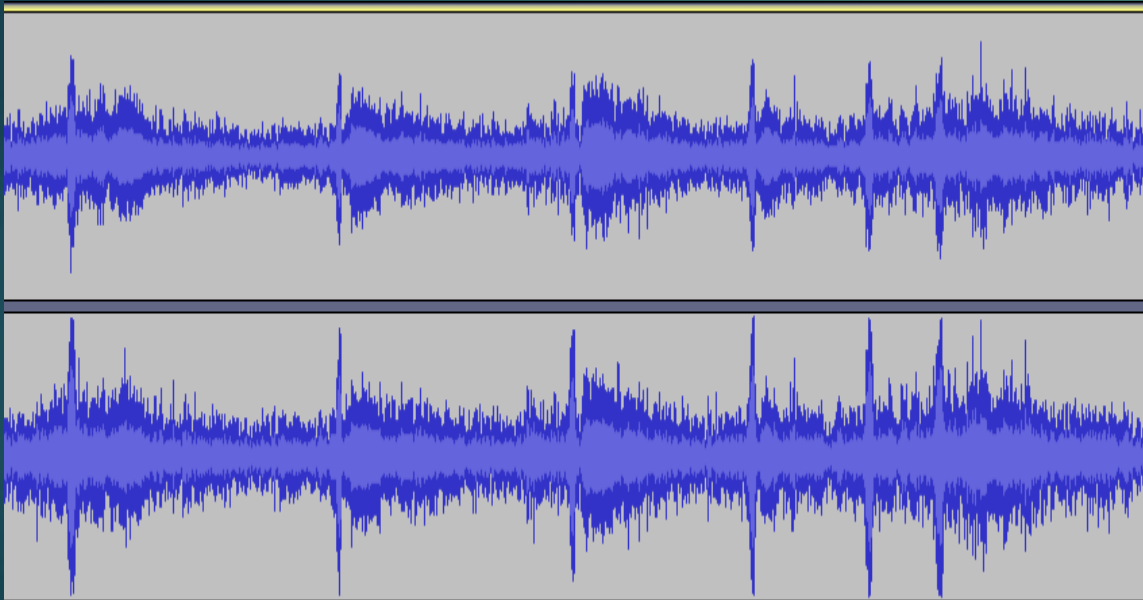
And because of motion blur, you end up

1:07 / 11:16 • Motion Blur >



# La transformée de Fourier

23



# La transformée de Fourier

24

- ▶ **La transformée de Fourier :**
  - ▶ On passe dans l'**espace des fréquences**.
- ▶ **Transformée de Fourier inverse**
  - ▶ Retrouver le signal depuis le spectrogramme.
- ▶ Très utilisé en **traitement du signal** !

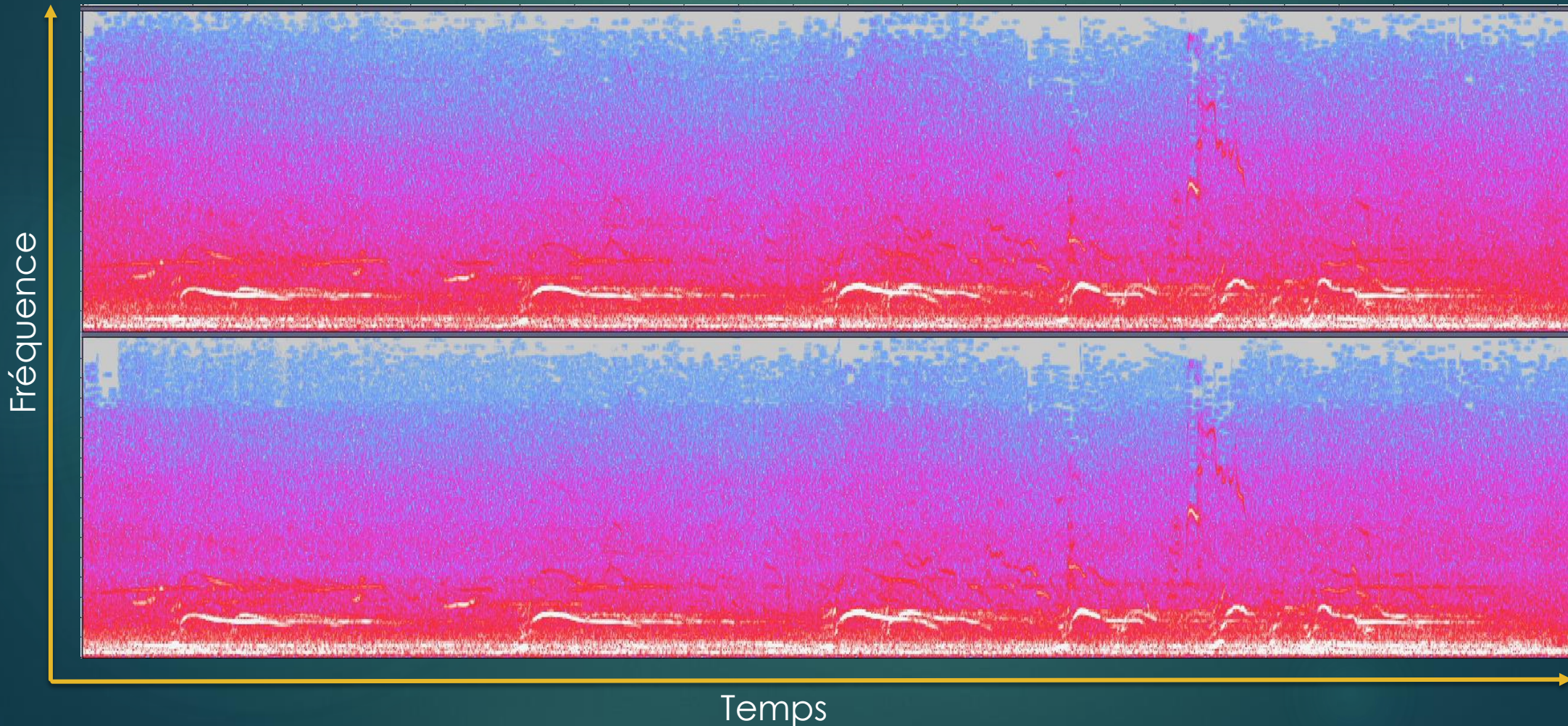
$$F(u, v) \stackrel{\text{def}}{=} \int_{-\infty}^{+\infty} \int_{-\infty}^{+\infty} f(x, y) e^{-j2\pi(ux+vy)} dx dy$$

$$f(x, y) \stackrel{\text{def}}{=} \int_{-\infty}^{+\infty} \int_{-\infty}^{+\infty} F(u, v) e^{j2\pi(ux+vy)} du dv$$

# La transformé de Fourier

25

Son de : <https://www.universal-soundbank.com/baleines.htm>

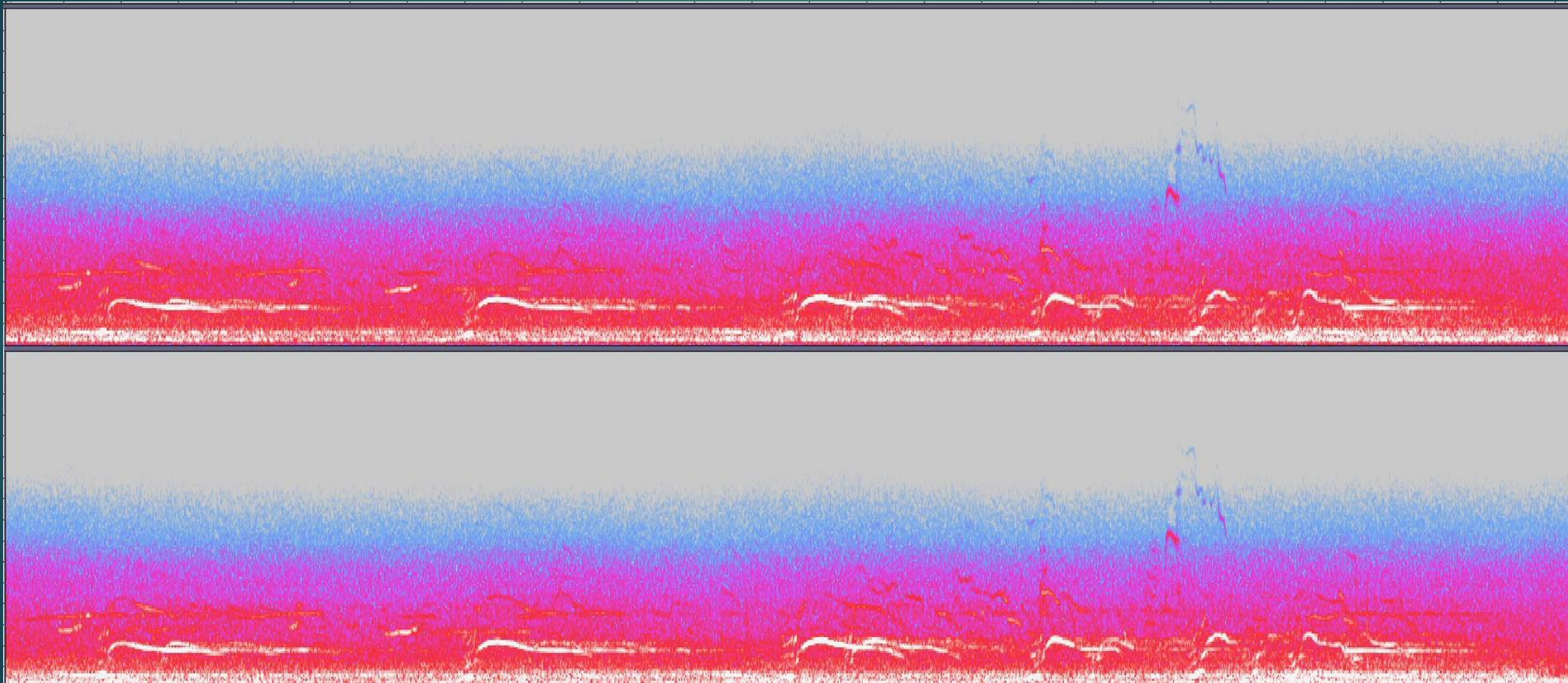




# Filtrage : exemple filtre passe bas

## Coupe à 2.5 KHz

26

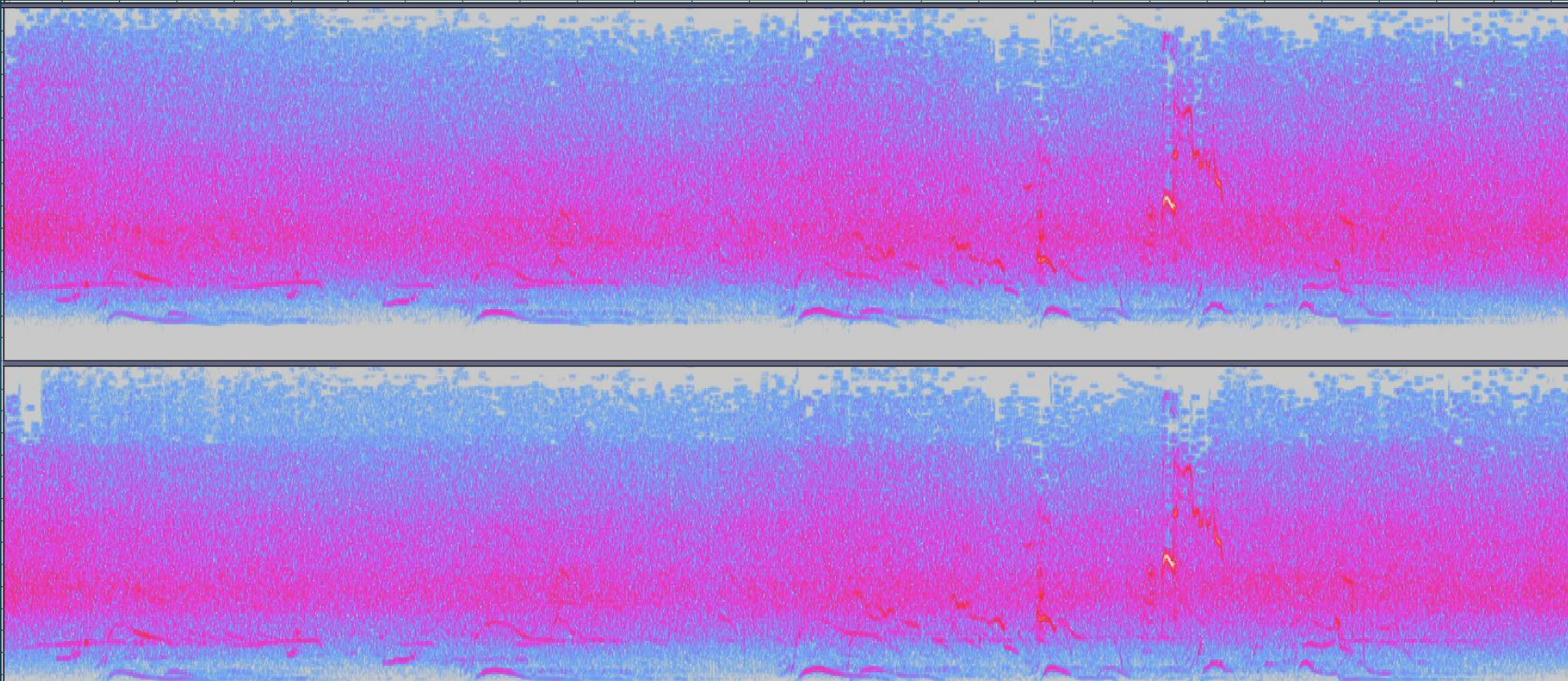




# Filtrage : exemple filtre passe haut

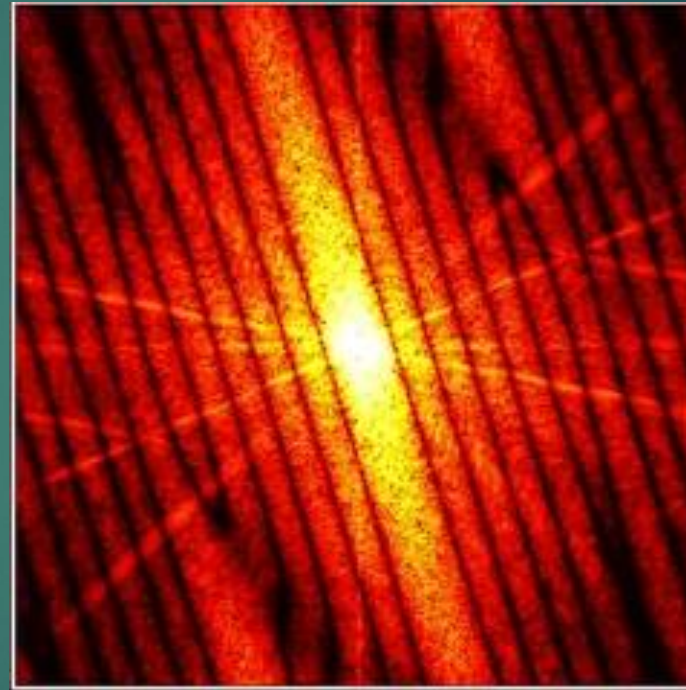
## Coupe à 2.5 KHz

27



# Sur une image

28



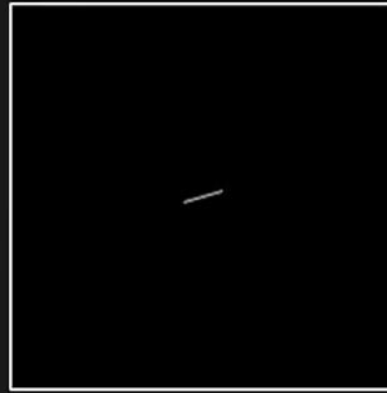


# Motion Blur



Scene  $f(x, y)$

\*



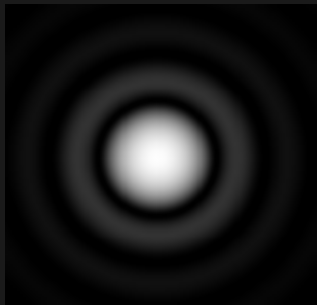
PSF  $h(x, y)$   
(Camera Shake)

=



Image  $g(x, y)$

**Point Spread Function**  
(Fonction d'étalement)



$$f(x, y) * h(x, y) = g(x, y)$$



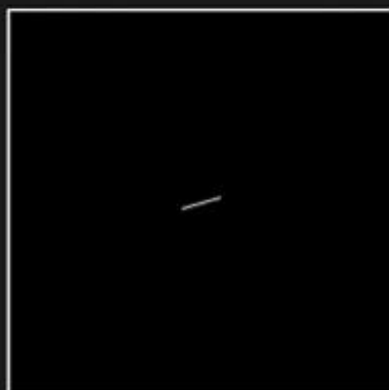


# Motion Blur



Scene  $f(x, y)$

\*



PSF  $h(x, y)$   
(Camera Shake)

=



Image  $g(x, y)$

$$f(x, y) * h(x, y) = g(x, y)$$

Given captured image  $g(x, y)$  and PSF  $h(x, y)$ ,  
can we estimate actual scene  $f(x, y)$ ?

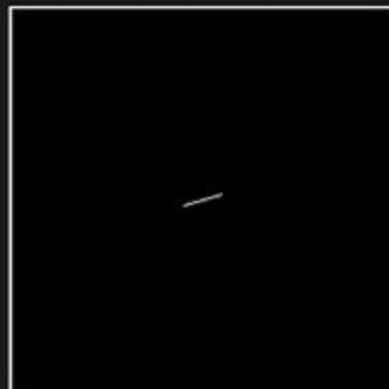


# Motion Deblur: Deconvolution



Scene  $f(x, y)$

\*



PSF  $h(x, y)$   
(Camera Shake)

=



Image  $g(x, y)$

Let  $f'$  be the recovered scene.

$$f'(x, y) * h(x, y) = g(x, y)$$

$$F'(u, v)H(u, v) = G(u, v)$$

$$F'(u, v) = \frac{G(u, v)}{H(u, v)} \longrightarrow \boxed{\text{IFT}} \longrightarrow f'(x, y)$$



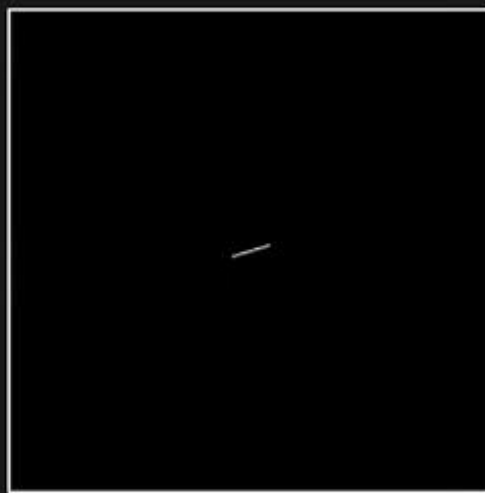
# Motion Deblur: Deconvolution

$$F'(u, v) = \frac{G(u, v)}{H(u, v)} \longrightarrow \boxed{\text{IFT}} \longrightarrow f'(x, y)$$



Image  $g(x, y)$

deconvolve



PSF  $h(x, y)$

=



Recovered  $f'(x, y)$



# Motion Deblur: Deconvolution

$$F'(u, v) = \frac{G(u, v)}{H(u, v)} \longrightarrow \boxed{\text{IFT}} \longrightarrow f'(x, y)$$

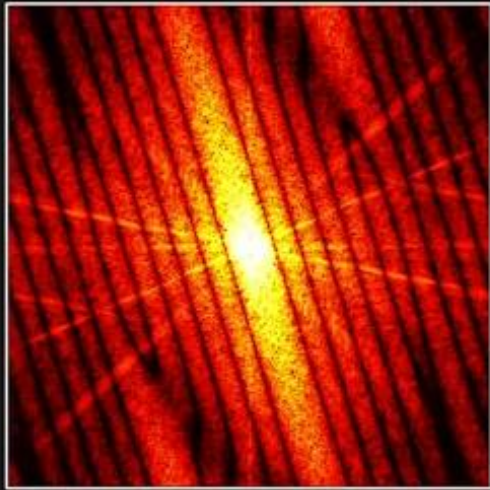
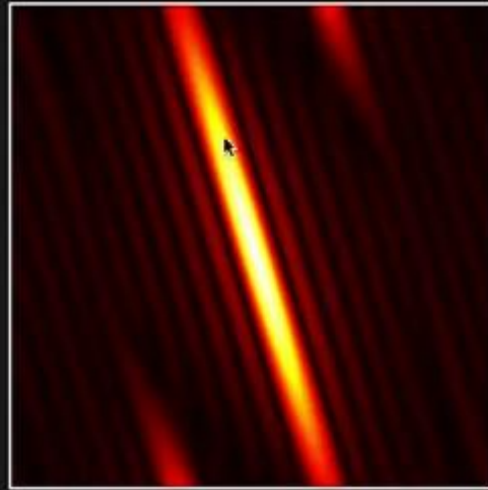


Image  $G(u, v)$



PSF  $H(u, v)$

=



Recovered  $F'(u, v)$

Step 1: Recover  $F'(u, v)$  in Fourier Domain





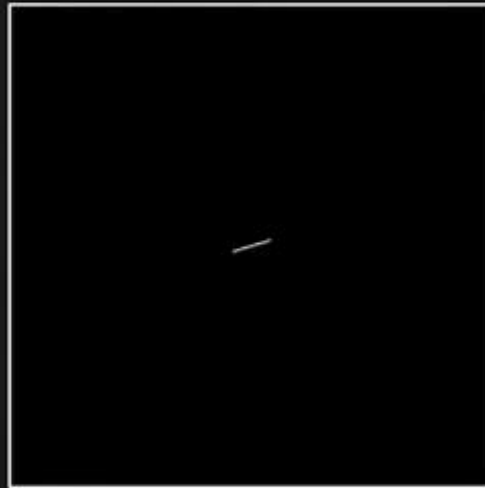
# Motion Deblur: Deconvolution

$$F'(u, v) = \frac{G(u, v)}{H(u, v)} \longrightarrow \boxed{\text{IFT}} \longrightarrow f'(x, y)$$



Image  $g(x, y)$

deconvolve



PSF  $h(x, y)$

=



Recovered  $f'(x, y)$

Step 2: Compute IFT of  $F'(u, v)$  to recover scene

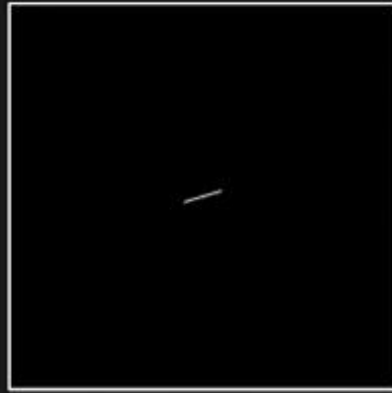


# Adding Noise to the Problem



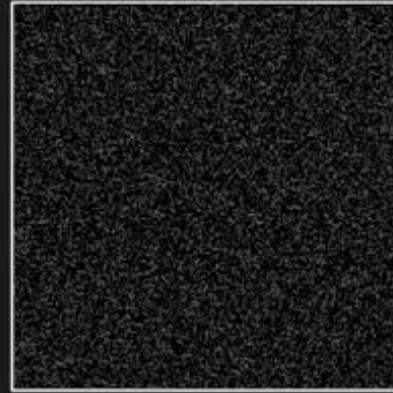
Scene  $f(x, y)$

\*



PSF  $h(x, y)$   
(Camera Shake)

+



Noise  $\eta(x, y)$

=



Image  $g(x, y)$

$$f(x, y) * h(x, y) + \eta(x, y) = g(x, y)$$

Can we afford to ignore noise?



# Motion Deblur: Deconvolution

If we ignore the noise ( $\eta(x, y)$ ):

$$\frac{G(u, v)}{H(u, v)} = F'(u, v) \longrightarrow \boxed{\text{IFT}} \longrightarrow f'(x, y)$$

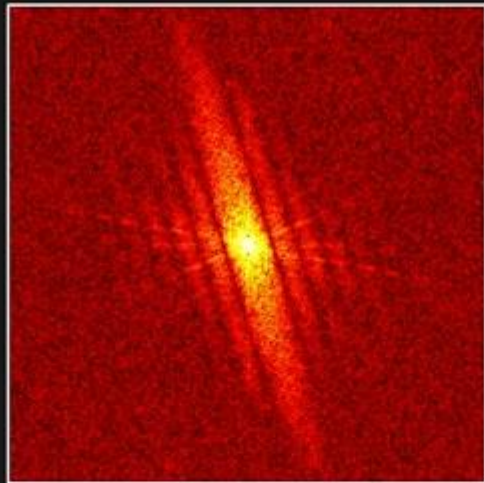
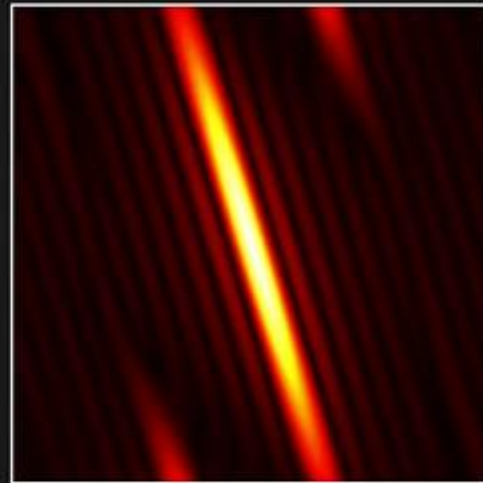


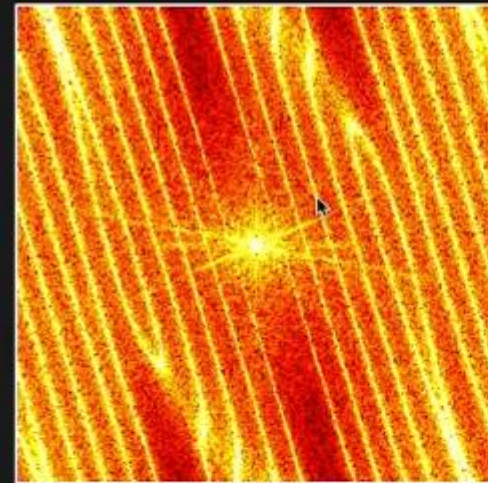
Image  $G(u, v)$

/



PSF  $H(u, v)$

=



Recovered  $F'(u, v)$

Higher frequencies in  $F'(u, v)$  are amplified





# Motion Deblur: Deconvolution

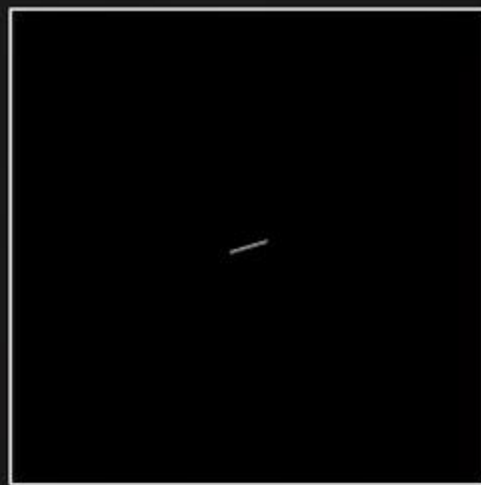
If we ignore the noise ( $\eta(x, y)$ ):

$$\frac{G(u, v)}{H(u, v)} = F'(u, v) \longrightarrow \boxed{\text{IFT}} \longrightarrow f'(x, y)$$



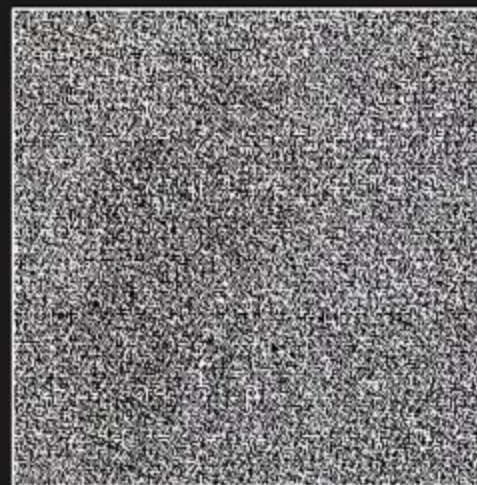
Image  $g(x, y)$   
(with noise)

deconvolve



PSF  $h(x, y)$

=



Recovered  $f'(x, y)$

Noise is significantly amplified



# Deconvolution: Issues

---

$$\frac{G(u, v)}{H(u, v)} = F'(u, v) \longrightarrow \boxed{\text{IFT}} \longrightarrow f'(x, y)$$

1. Where  $H(u, v) = 0$ ,  $F'(u, v) = \infty \rightarrow$  Not recoverable
2. Motion blur filter  $H(u, v)$  is a low pass filter.

For high frequencies  $(u, v)$ :

- Noise  $N(u, v)$  in  $G(u, v)$  is high
- Filter  $H(u, v) \approx 0$

Noise in  $G(u, v)$   
is amplified



# Noise Suppression: Wiener Deconvolution

$$F'(u, v) = \frac{G(u, v)}{H(u, v)} \left[ \frac{1}{1 + \frac{NSR(u, v)}{|H(u, v)|^2}} \right]$$

- Determining *NSR* requires us to have prior knowledge of the noise “pattern” and the scene (or of a similar scene).

$$NSR(u, v) = \frac{|N(u, v)|^2}{|F(u, v)|^2}$$

- Often *NSR* is set to a single suitable constant  $\lambda$ .

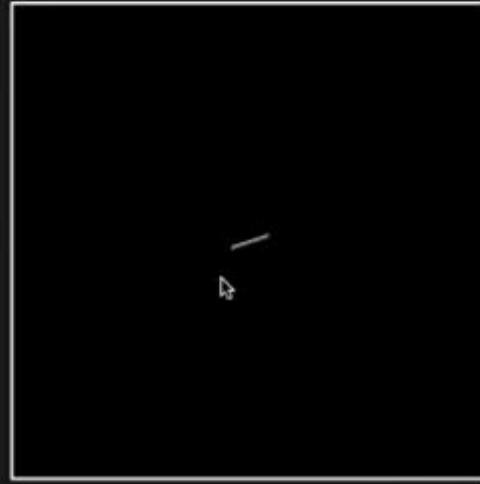
$$NSR(u, v) = \lambda$$



# Noise Suppression: Wiener Deconvolution



Noisy, Blurred  
Image  $g(x, y)$



PSF  $h(x, y)$



Recovered  $f'(x, y)$

$NSR(u, v) = \lambda = 0.002$  was used to recover image





# Allez plus loin

41

- ▶ « Analyse d'images IMN 259 » (slides en français)  
[https://info.usherbrooke.ca/pmjodoin/cours/IMN259/notes/Filtrage\\_IMN259\\_2018\\_2pages.pdf](https://info.usherbrooke.ca/pmjodoin/cours/IMN259/notes/Filtrage_IMN259_2018_2pages.pdf)
- ▶ Par **Pierre-Marc Jodoin** – Université Usherbrook (CA)
- ▶ Traite la question du flou gaussien
  - ▶ Explication de : **Lucy-Richardson**
  - ▶ Explication **auto-estimation** de la **PSF (déconvolution aveugle)**

# Vraiment plus loin

42

- ▶ Papier sur la dé-convolution RL aveugle (1995) [EN]  
**Blind deconvolution by means of the Richardson–Lucy algorithm**  
[http://prancer.physics.louisville.edu/classes/650/deconvolution/fish\\_blind\\_lucy\\_richardson\\_deconvolution\\_josa1995.pdf](http://prancer.physics.louisville.edu/classes/650/deconvolution/fish_blind_lucy_richardson_deconvolution_josa1995.pdf)
- ▶ Papier sur la deconvolution aveugle (1995) [FR]  
**Comparaison de différentes techniques de déconvolution aveugle**  
[https://www.researchgate.net/publication/27607499\\_Comparaison\\_de\\_diff%C3%A9rentes\\_techniques\\_de\\_deconvolution\\_aveugle](https://www.researchgate.net/publication/27607499_Comparaison_de_diff%C3%A9rentes_techniques_de_deconvolution_aveugle)

# Autour du sujet

43

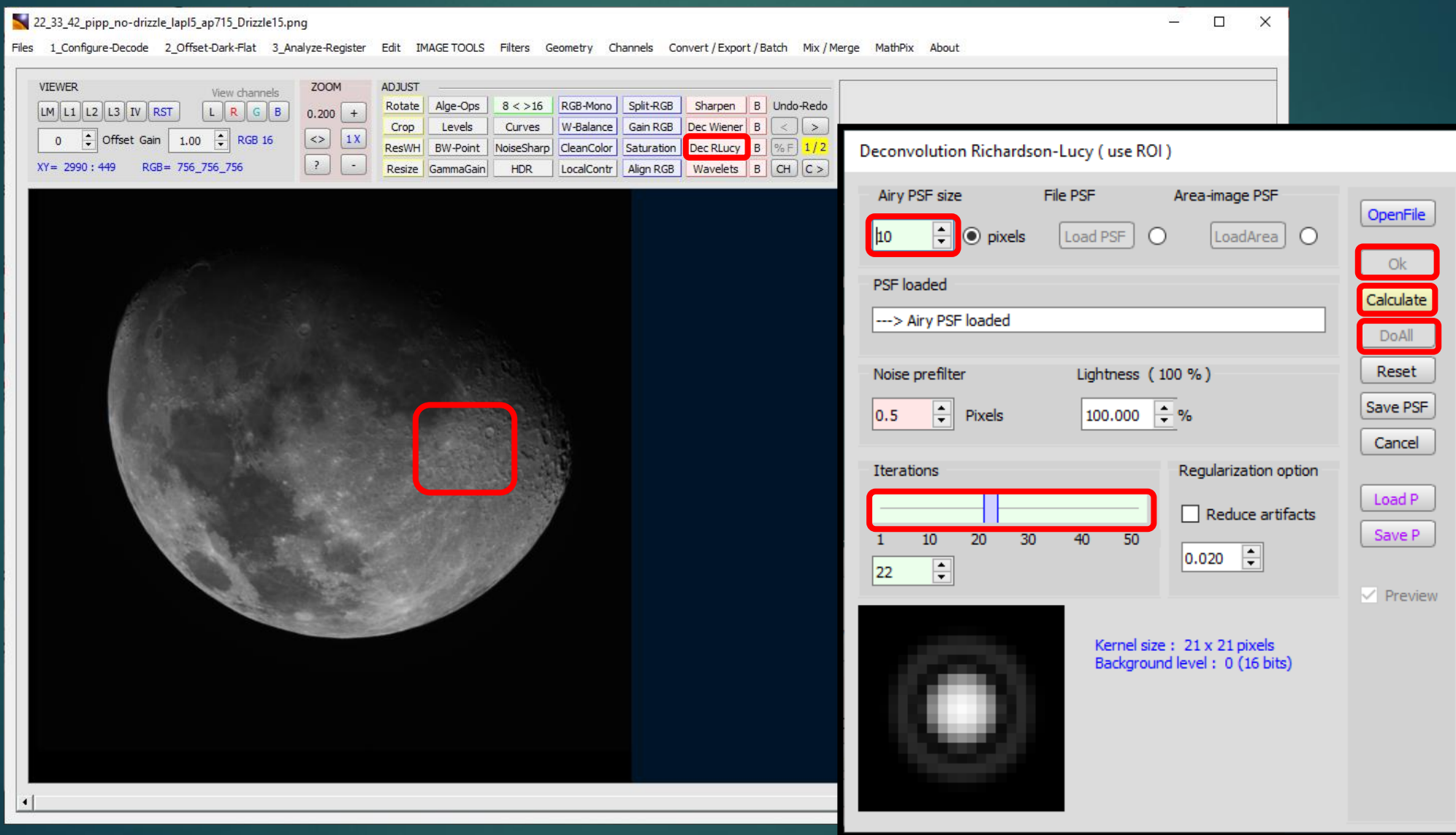
- ▶ **Sheer Nayar** a plusieurs vidéos très intéressantes
  - ▶ CCD versus CMOS (comment ça marche)  
<https://www.youtube.com/watch?v=nsPvcX-4KU>
  - ▶ Perception des couleurs  
<https://www.youtube.com/watch?v=V4y3K6zoUQs>





# Post-Processing : AstroSurface

DE-CONVOLUTION



# Deconvolution RLucy

46



Avant



Après



Image unique



Post Autostakkert



AS2 dé-convolution RLUCY

# Les couleurs (contrast & HDR)

48



Avant



Après



# Si on avait une unique image....

49



Image unique + RL (pas AS2)



AS2 Stacked + RL

# Full AstroSurface

50

- ▶ On peut aussi **stacker** avec **AstroSurface**
- ▶ Je trouve **moins intuitif**.....
- ▶ **AstroSurface** ne **permet de pas de Drizzle 1.5x** pour le mode **multi-point**
  - ▶ On perd en capacité de post-traitement (deconvolution)



# A vous de jouer

51



# Backup

# Noise Suppression: Wiener Deconvolution

$$F'(u, v) = \frac{G(u, v)}{H(u, v)} \left[ \frac{1}{1 + \frac{NSR(u, v)}{|H(u, v)|^2}} \right]$$

Where:

Weiner Filter  $\stackrel{\text{def}}{=}$

$$W(u, v) = \frac{1}{H(u, v)} \left[ \frac{1}{1 + \frac{NSR(u, v)}{|H(u, v)|^2}} \right]$$

Noise-to-Signal Ratio,  $NSR(u, v)$ :

$$NSR(u, v) = \frac{\text{Power of Noise at } (u, v)}{\text{Power of Signal (Scene) at } (u, v)} = \frac{|N(u, v)|^2}{|F(u, v)|^2}$$

